

# **Kontrola jakości preparatów homeopatycznych**

**Diana Wojtkowiak**

**2026**

# Właściwości leku homeopatycznego

(w świetle badań nad polami torsyjnymi)

- Kategoria (kolor radiestezyjny)
- zasięg promieniowania formy A
- polaryzacja chiralna
- spektrum częstotliwościowe
- stosunek sygnał/szum
- potencja -
- potencja
- reprezentacja chemiczna

## Zależność zasięgu

- od pierwotnego pola torsyjnego (rozłamy tektoniczne, smog torsyjny)
- od natężenia stałego pola magnetycznego (kasowanie w niskim polu magnetycznym)
- od temperatury

## Kontrola jakości leku homeopatycznego

Częste są zażalenia pacjentów, że lek nie działa. Dlaczego?

- zasięg promieniowania formy A:  $\pm 20\%$
- Kategoria (kolor radiestezyjny): leki niezłożone - jedna Kategoria, brak rozmycia po Kategoriach
- polaryzacja chiralna: lewoskrętna
- spektrum częstotliwościowe: nierozmyte, brak dodatkowych sygnałów typu Cu, Fe
- stosunek sygnał/szum:  $> 2$

## **Kategoria preparatu homeopatycznego**

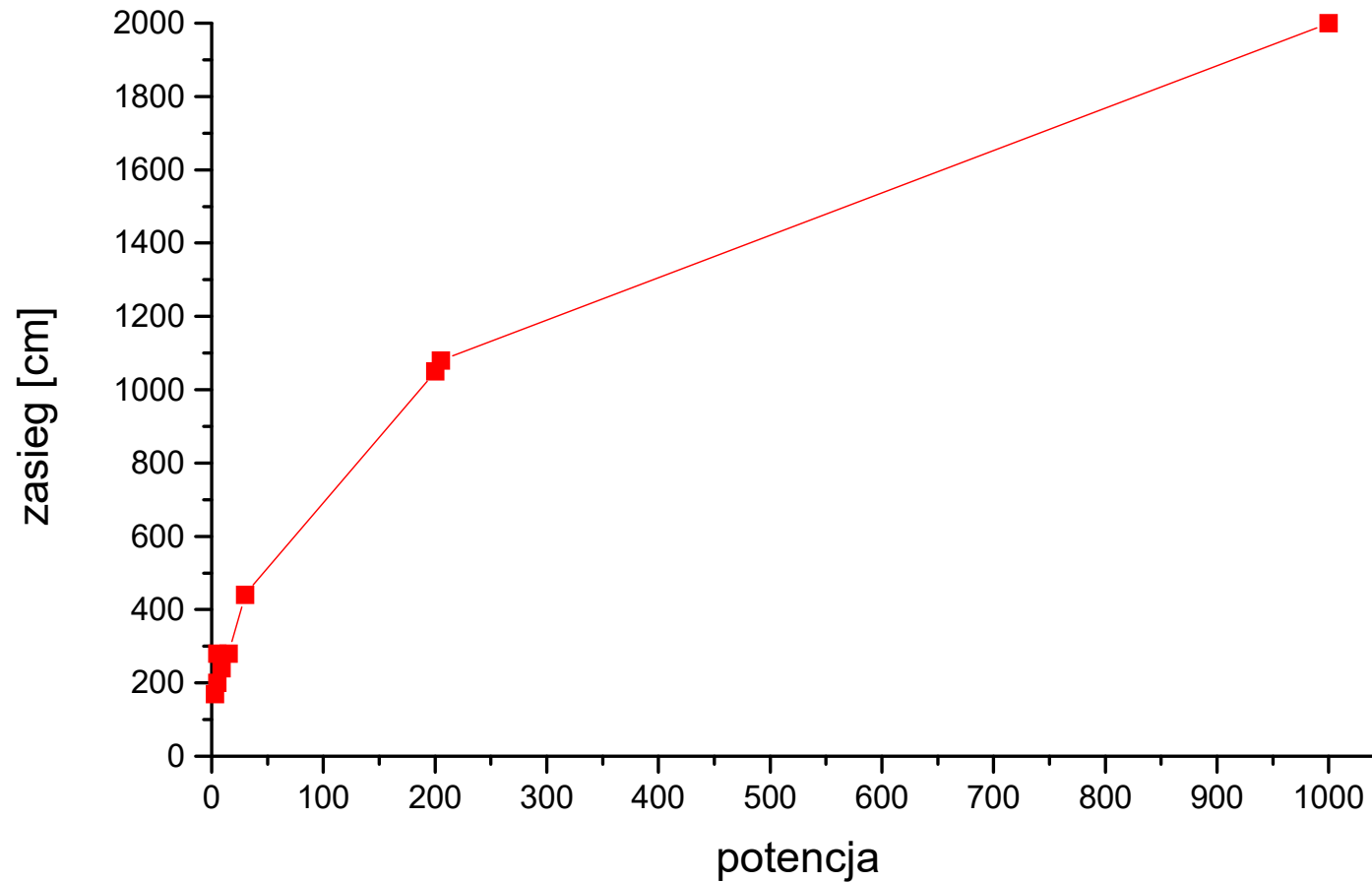
- przejście po siatce radiestezyjnej - sumowanie Kategorii
- badanie zasięgu poszczególnymi wzorcami Kategorii

## Powiązanie metali, Kategorii i znaków zodiaku

Kategoria	znak zodiaku	wzorzec do pomiaru
K1	Baran	bismut
K2	Byk	magnez
K3	Bliźnięta	antymon
K4	Rak	srebro
K5	Lew	wanad
K6	Panna	klej do klejenia na gorąco
K7	Waga	ołów
K8	Skorpion	molibden
K9	Strzelec	aluminium
K10	Koziorożec	cyna
K11	Wodnik	miedź
K12	Ryby	mangan

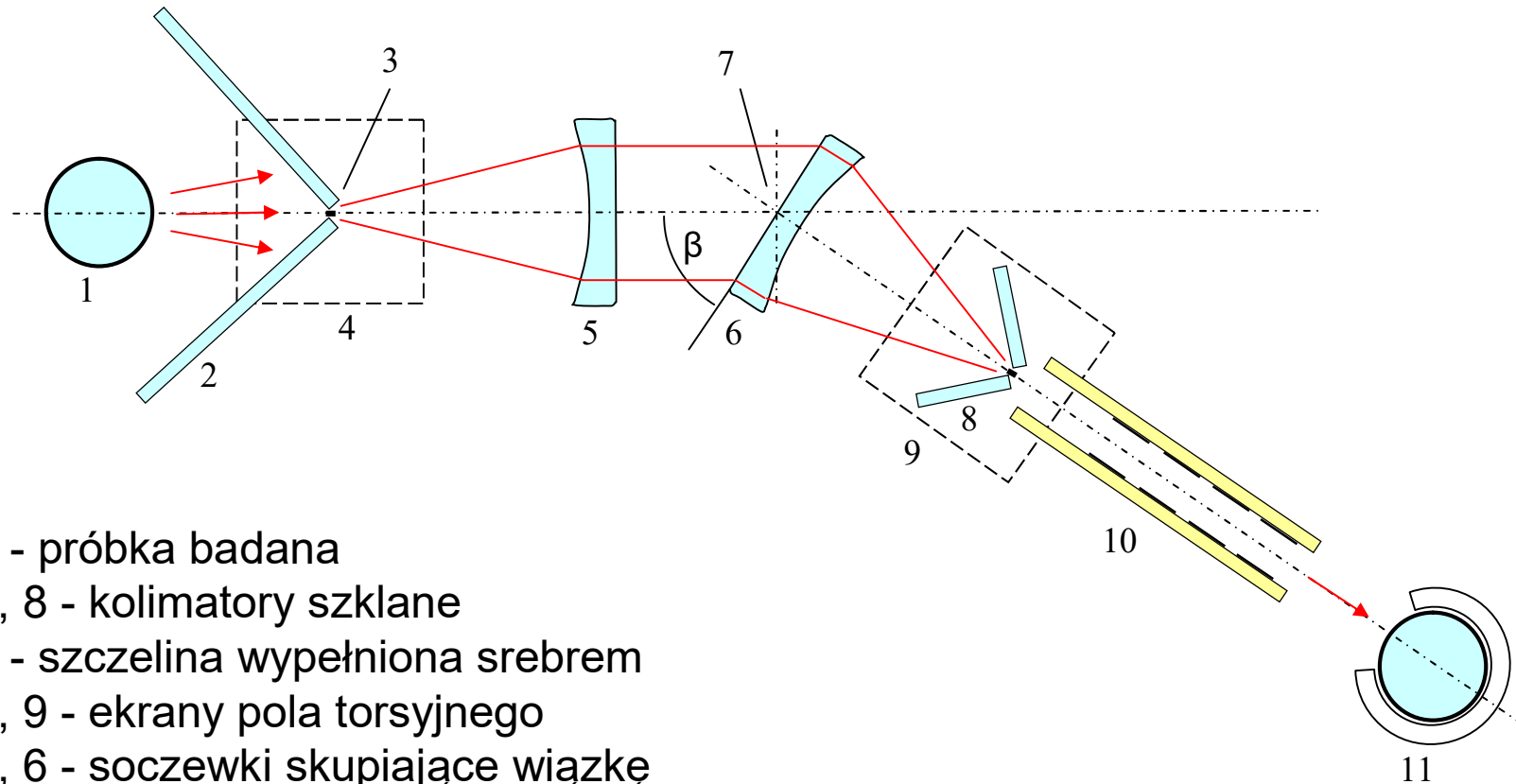


## Zasięg promieniowania

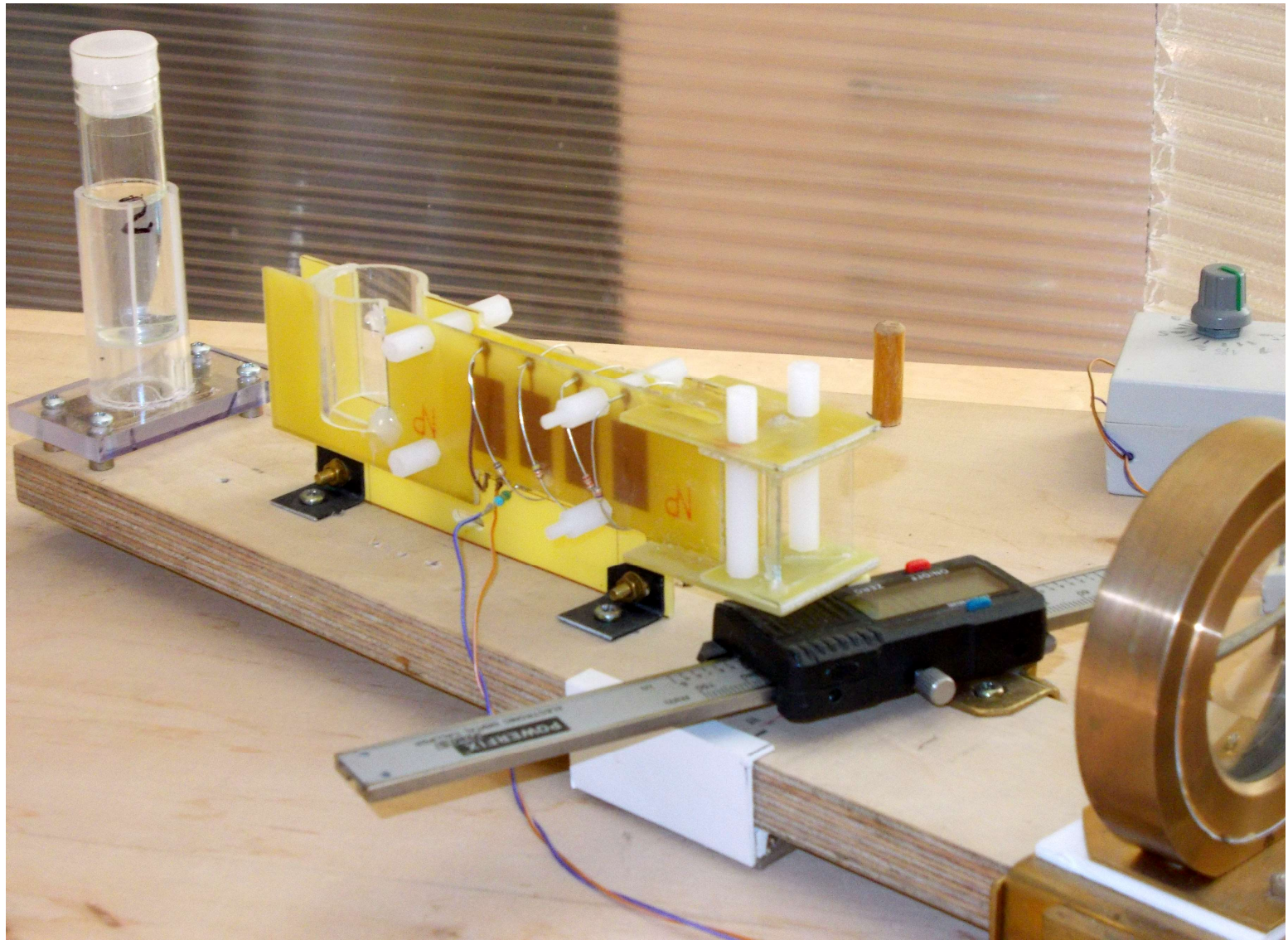


Zależność zasięgu promieniowania komercyjnych leków homeopatycznych na bazie laktozy od potencji

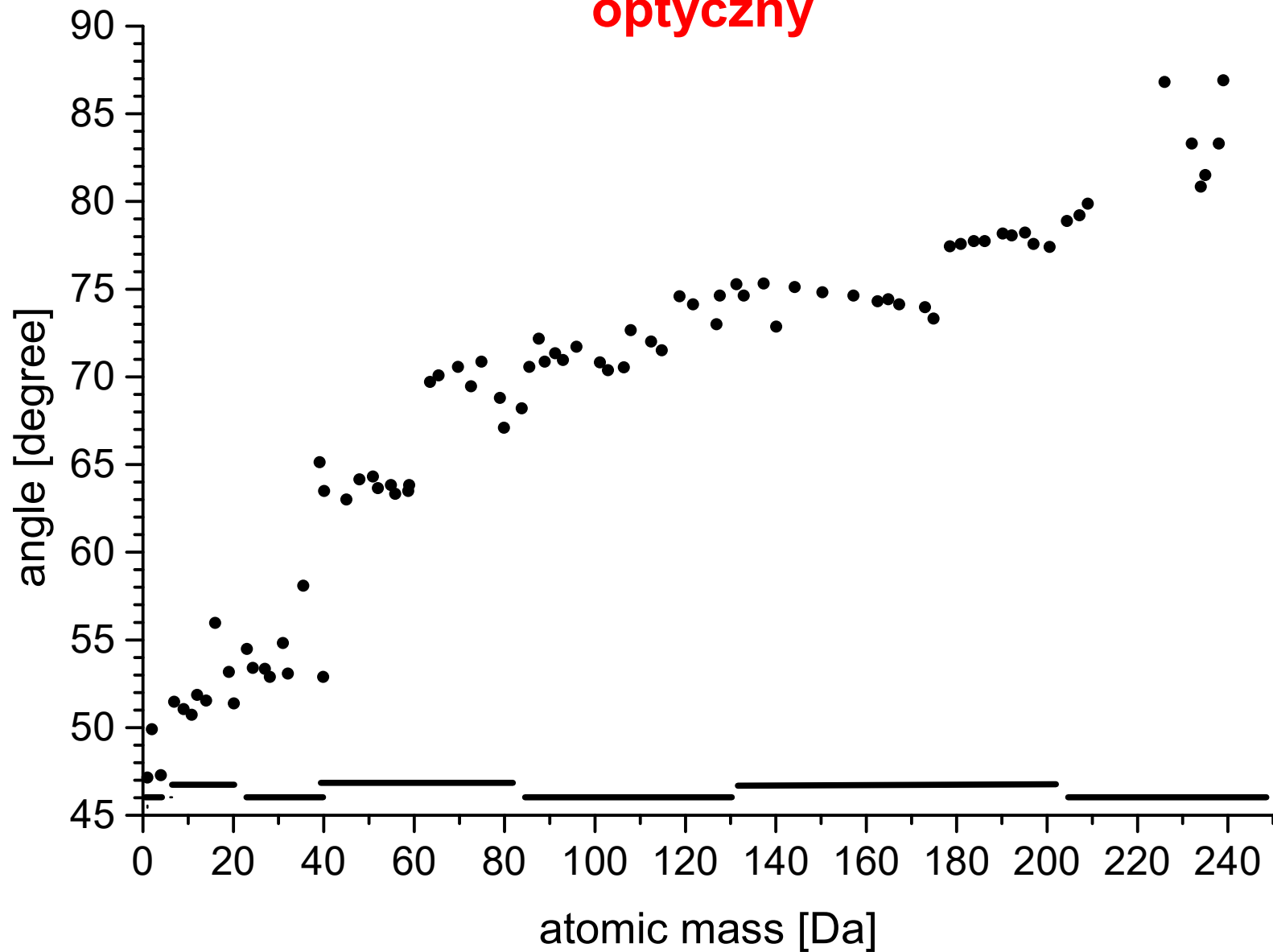
# Spektroskopia cząstek pola torsyjnego



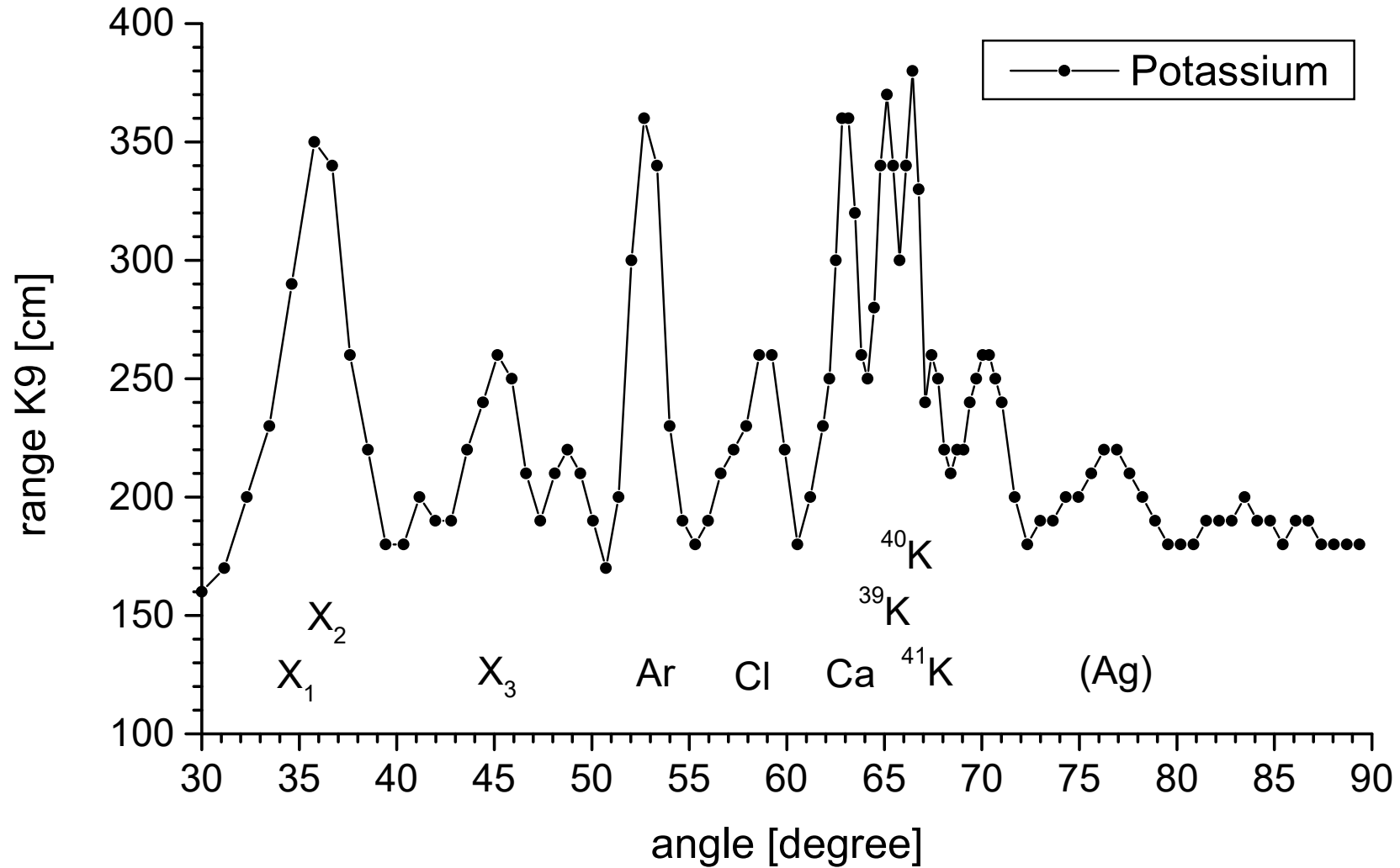
- 1 - próbka badana
- 2, 8 - kolimatory szklane
- 3 - szczelina wypełniona srebrem
- 4, 9 - ekrany pola torsyjnego
- 5, 6 - soczewki skupiające wiązkę
- 7 - płaszczyzna refrakcyjna
- 10 - akcelerator
- 11 - odbiornik sygnału



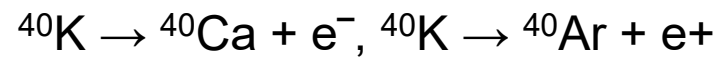
## Zależność kąta odchylenia od masy atomowej, rozdział optyczny

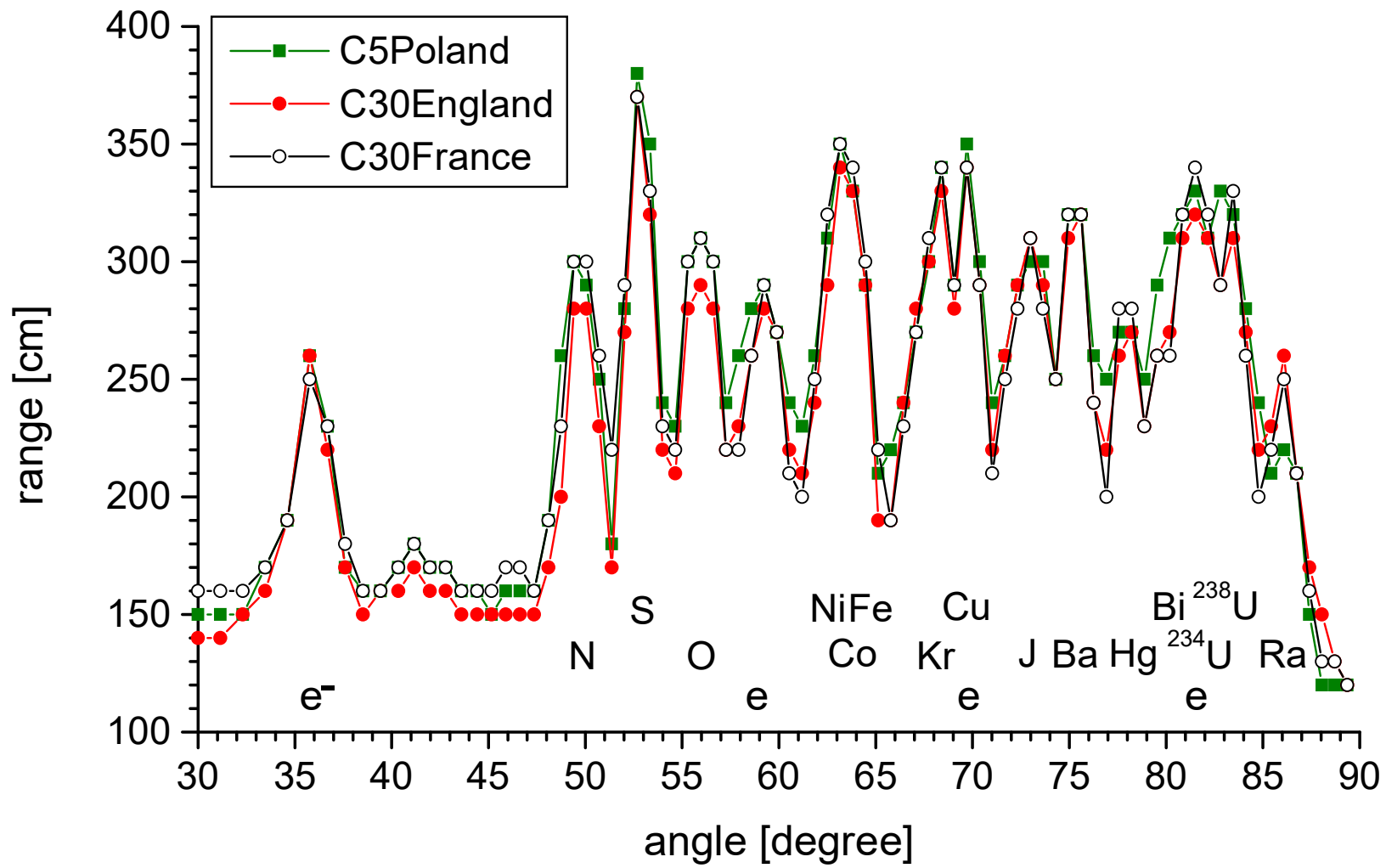


# Spektrum promieniowania chlorku potasu

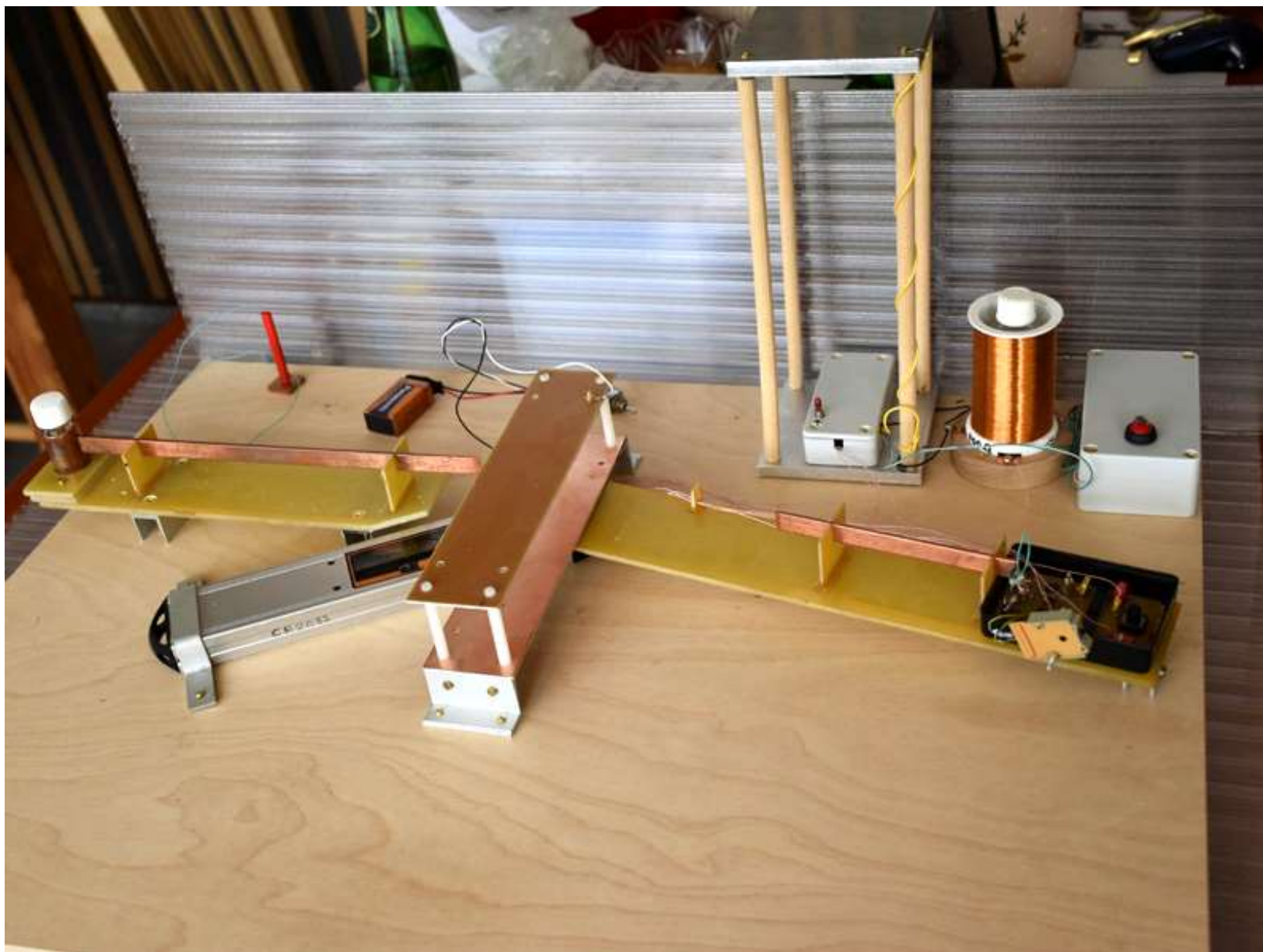


X<sub>1</sub> - e<sup>+</sup>, X<sub>2</sub> - e<sup>-</sup> X<sub>3</sub> - ν

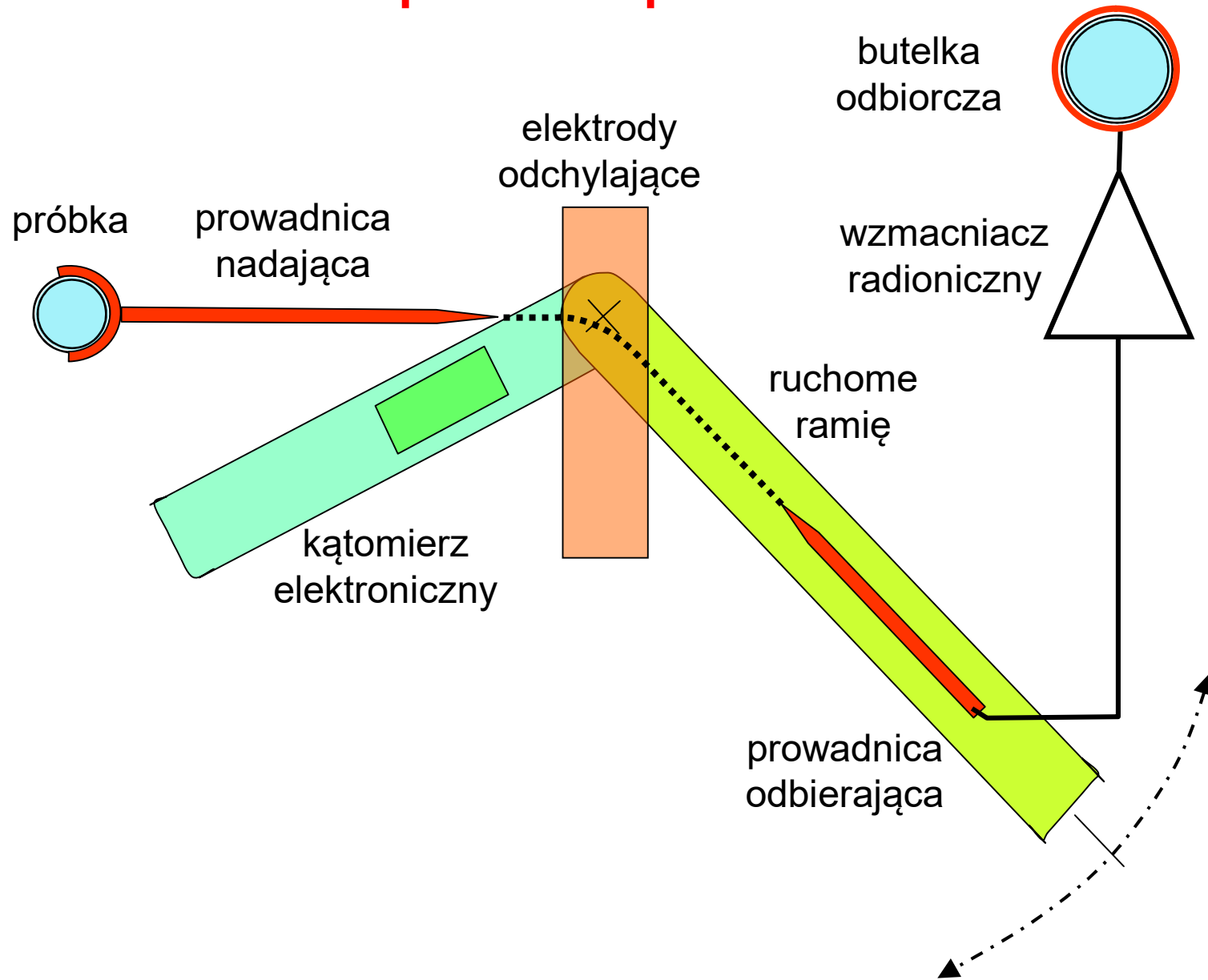




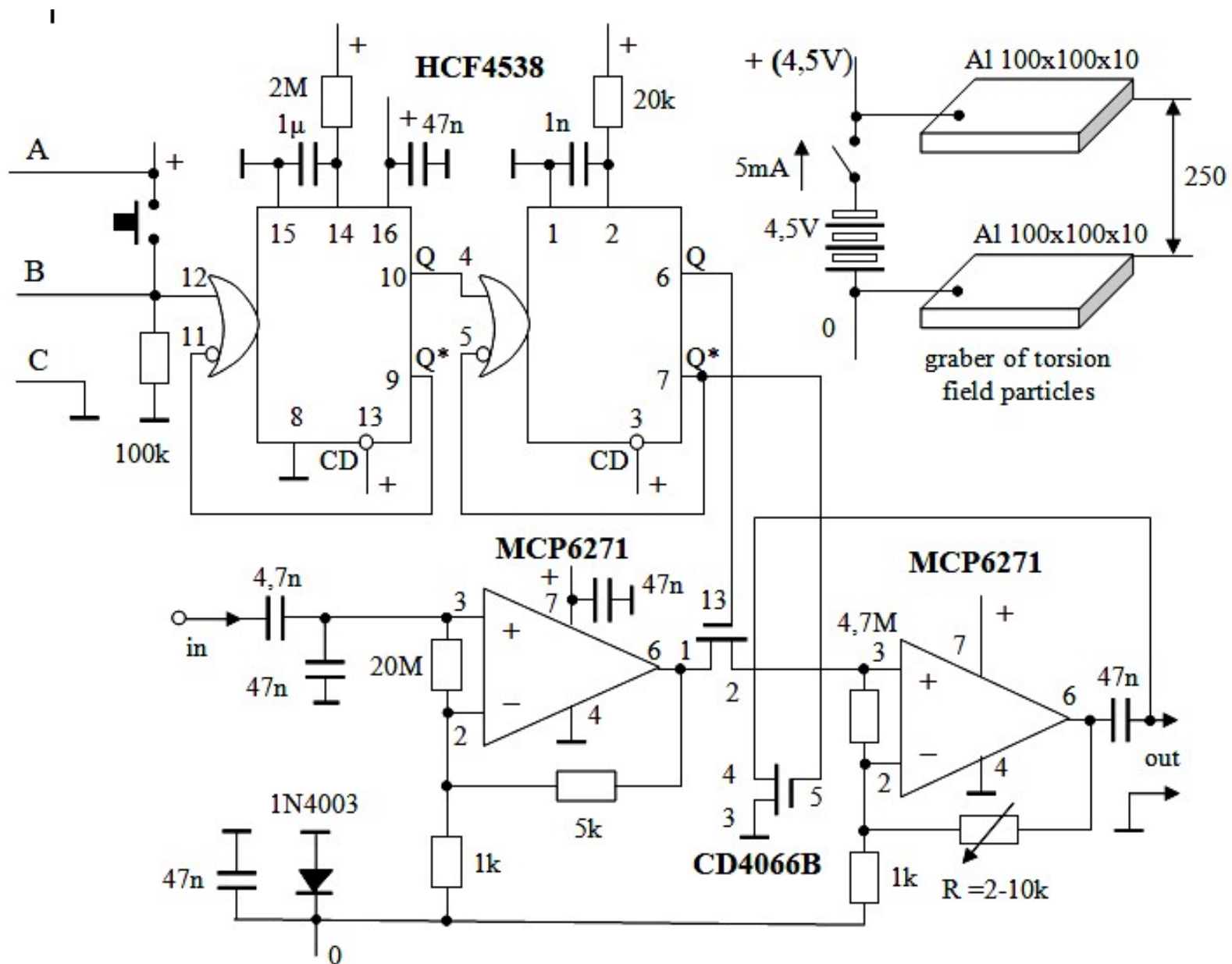
## Nowy spektroskop cząstek pola torsyjnego



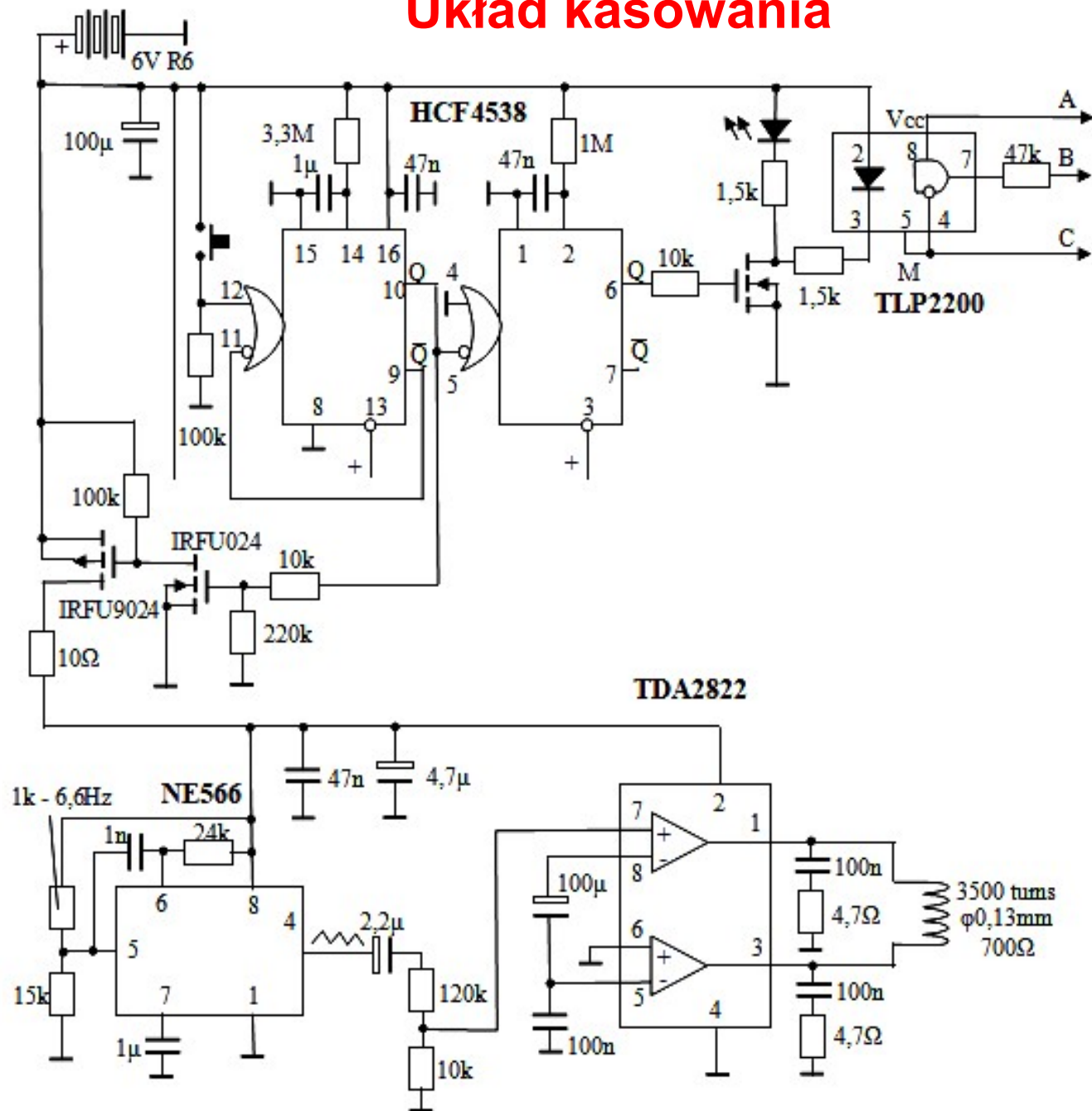
# Układ spektroskopu



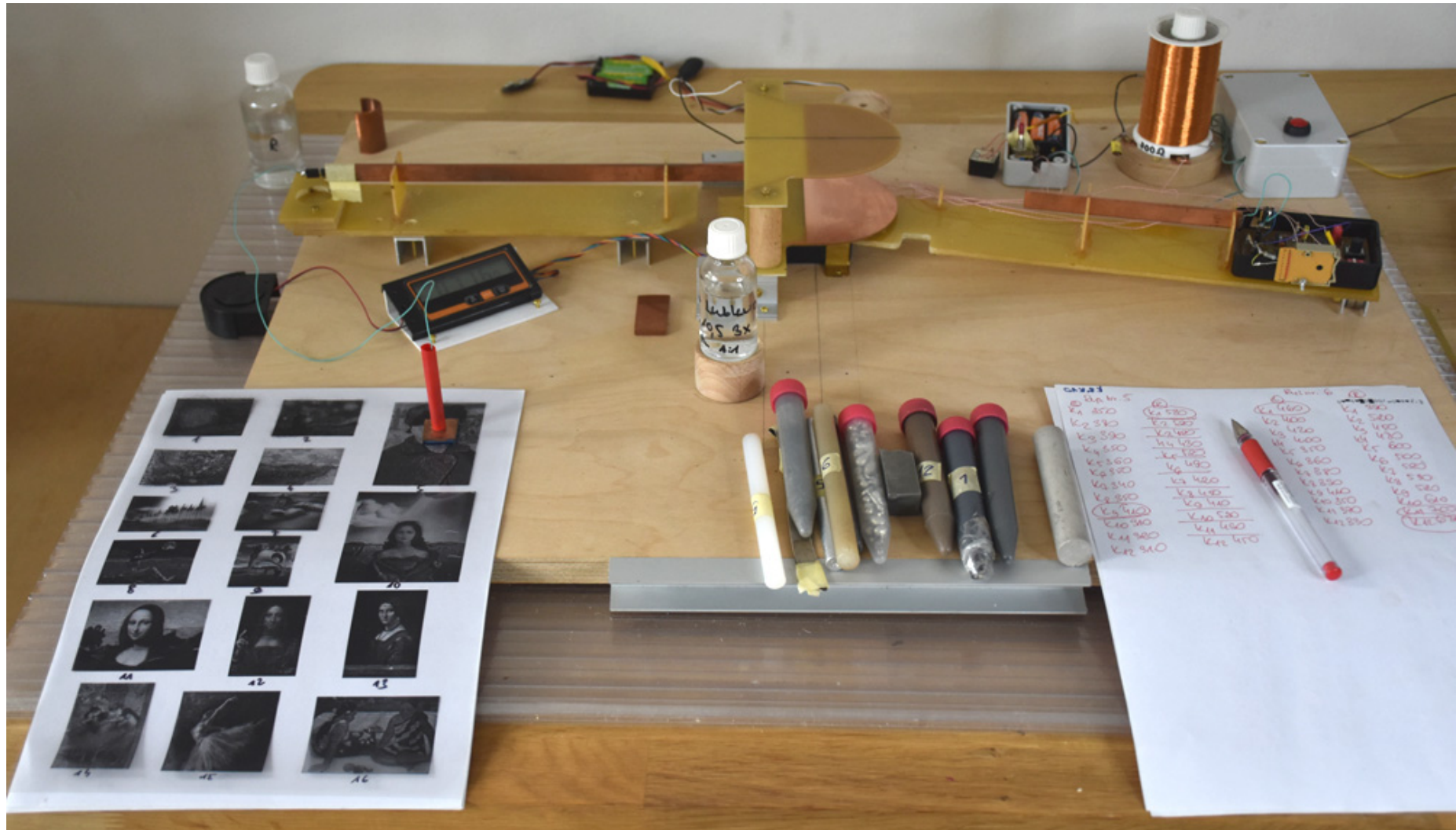
# Układ wzmacniaczy



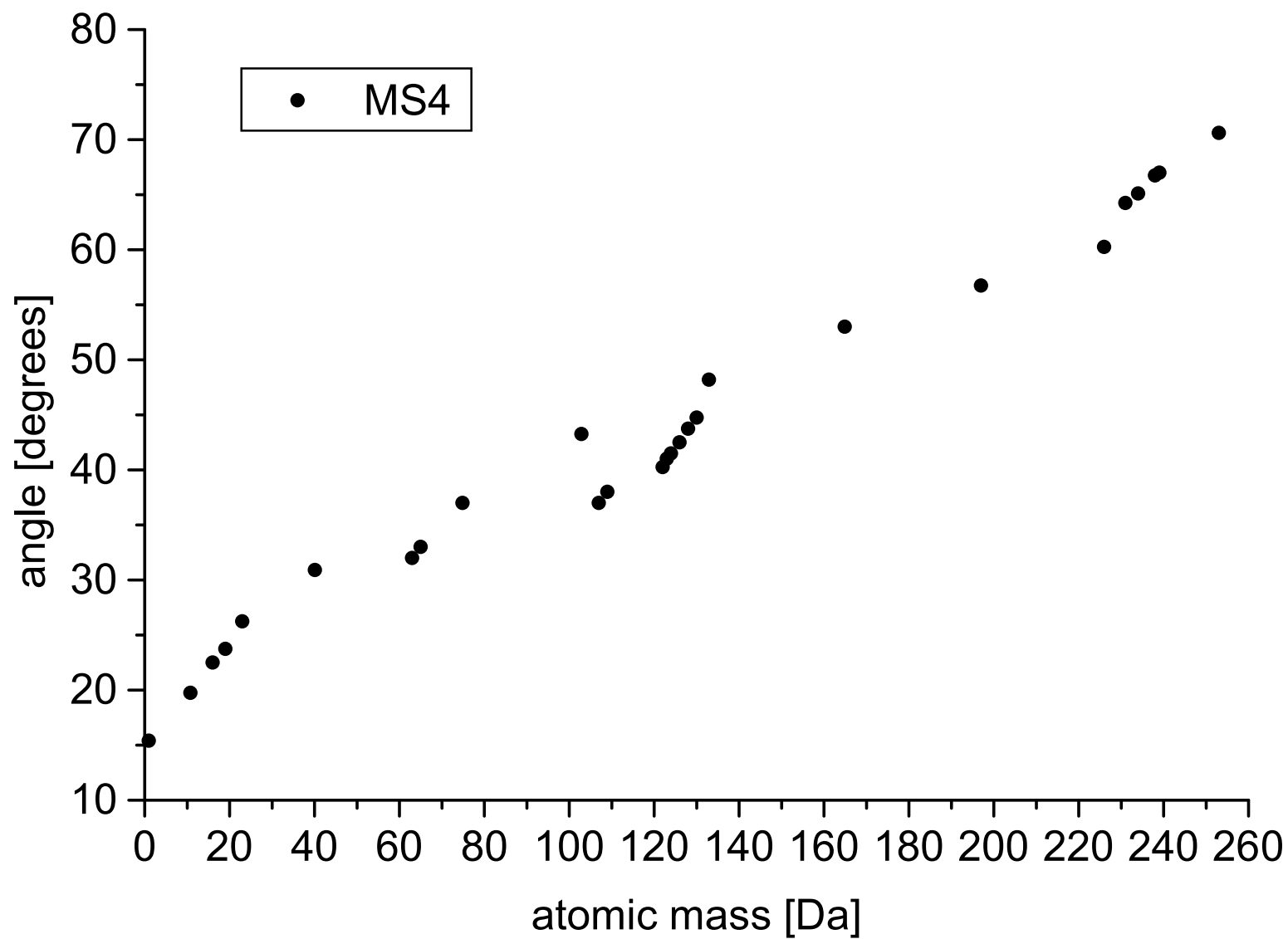
# Układ kasowania



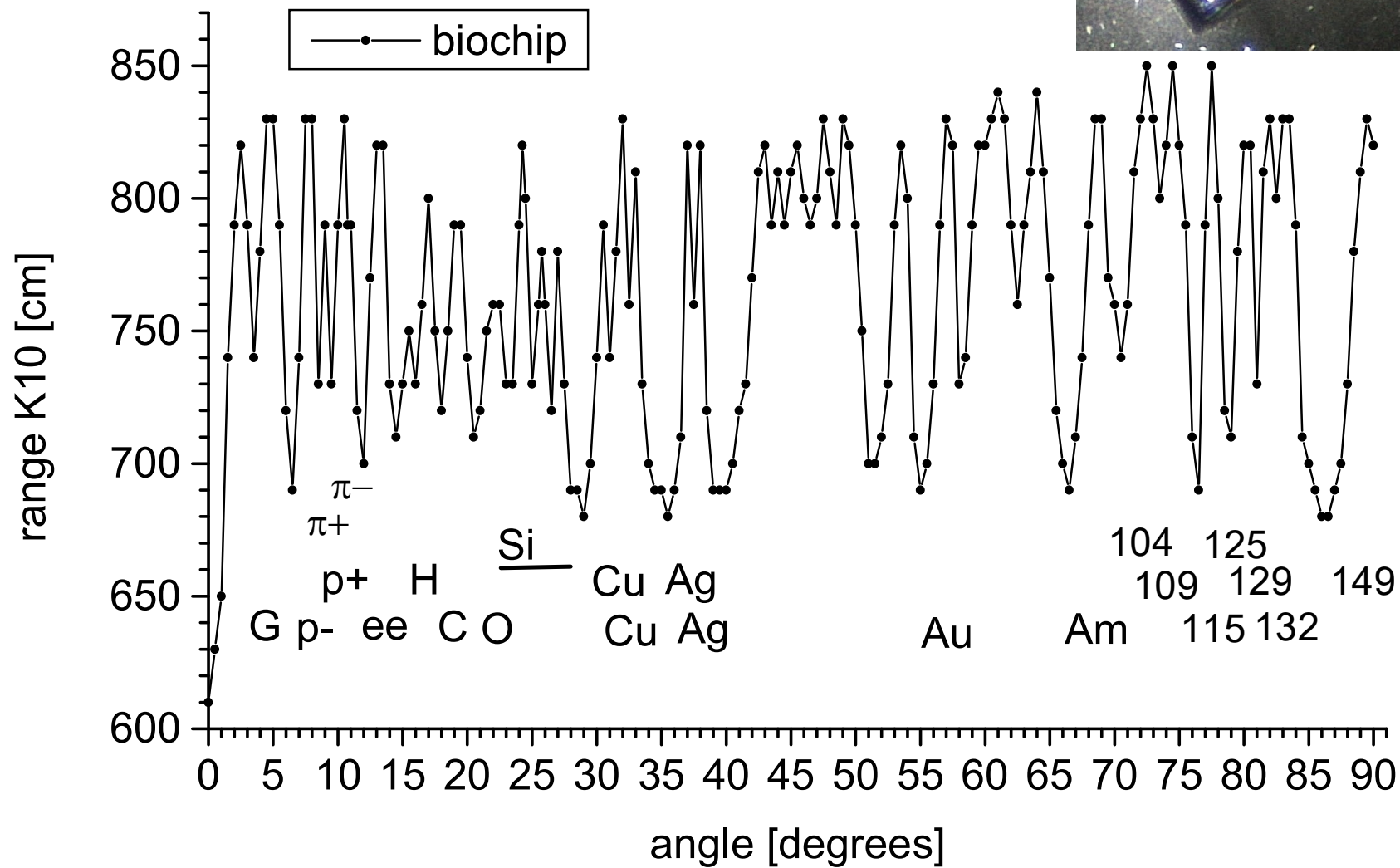
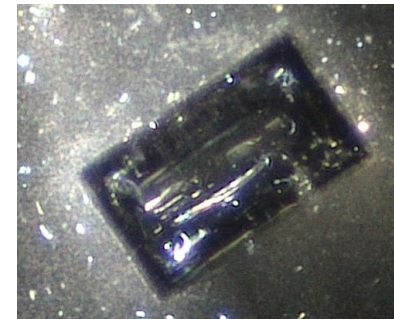
# Spektroskop radioniczny



## Zależność kąta odchylenia od masy atomowej, rozdział p+

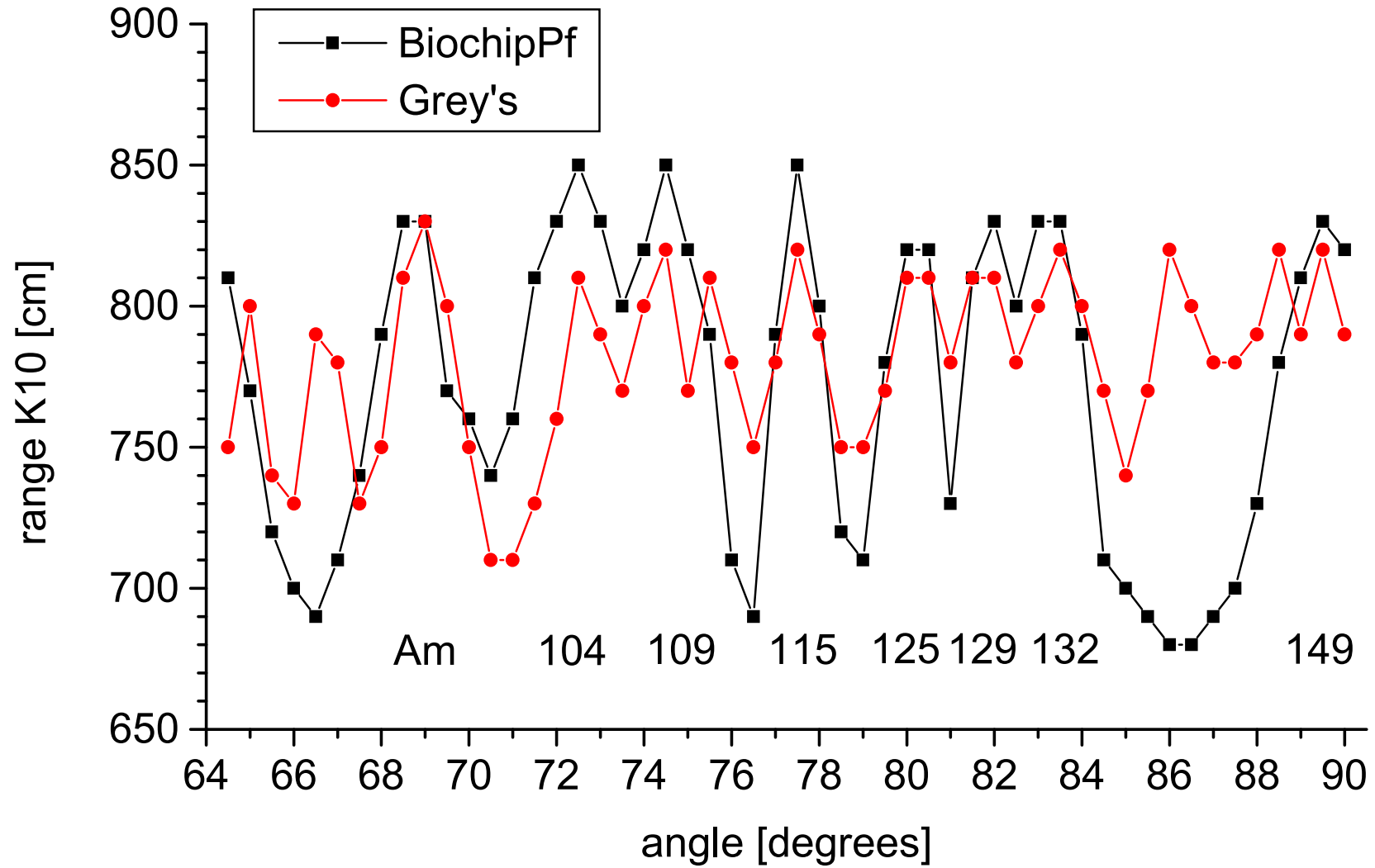


# Spektrum z płytki krzemowej biochipa w szczepionce COVID-19 firmy Pfizer



spektroskop radioniczny p+

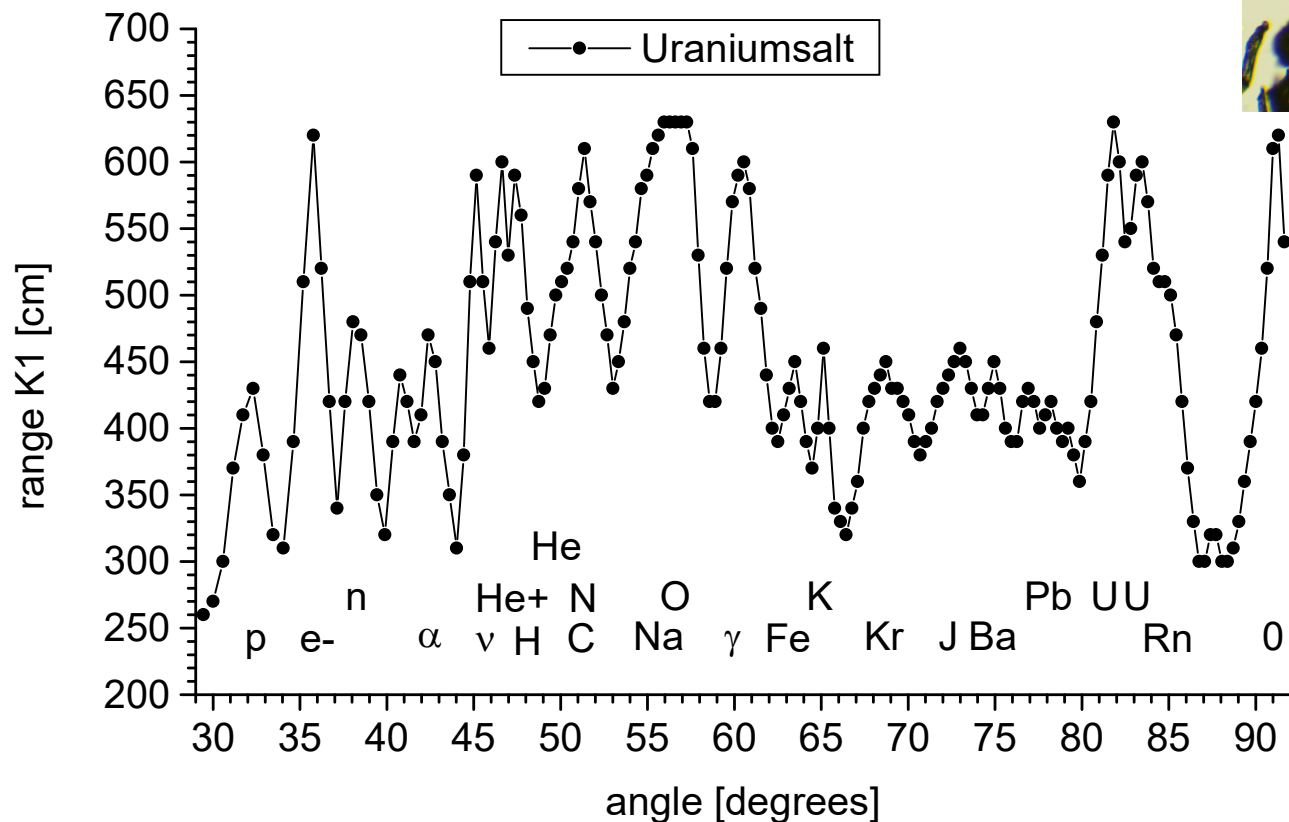
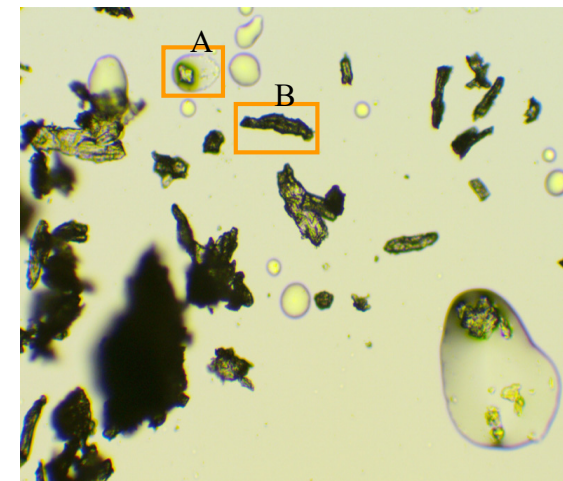
# Fragment spektrum z biochipów do manipulacji umysłem



spektroskop radioniczny p+



# Sygnal uranu z obrazu mikroskopowego tabletek KJ



Spektrum sygnału cząstek pola torsiowego z wyciętego wydruku kryształka z obszaru B

## Oznaczanie miejsca krystalizacji octanu uranylu

	uran	uran polaryzacja pozioma 	uran polaryzacja pionowa 	tlen polaryzacja pozioma 	tlen polaryzacja pionowa 	lab. Gdańsk polaryzacja pozioma 	lab. Gdańsk polaryzacja pionowa 
		[cm]	[cm]	[cm]	[cm]	[cm]	[cm]
K1	300						
K2	350						
K3	320						
K4	400	400	300	400	300		
K5	430	430	300	430	310	330	210
K6	430	300	430	290	430	200	330
K7	380	280	380	280	390	300	200
K8	350					210	300
K9	380	380	280	380	300		
K10	300				300		
K11	320						
K12	400	290	400	290	400		

Miejsce na Ziemi wg naturalnego GPS-u jest następujące:  
równoleżnikowo: K5, K4, K9..., południkowo: K6, K12, K7...  
. Z mapki Europy rys. x odczytujemy że jest to położenie  
miasta Oslo w Norwegii.

## Miejsce i data produkcji Sulphur C30 Ainsworths Homoeopathic Pharmacy,

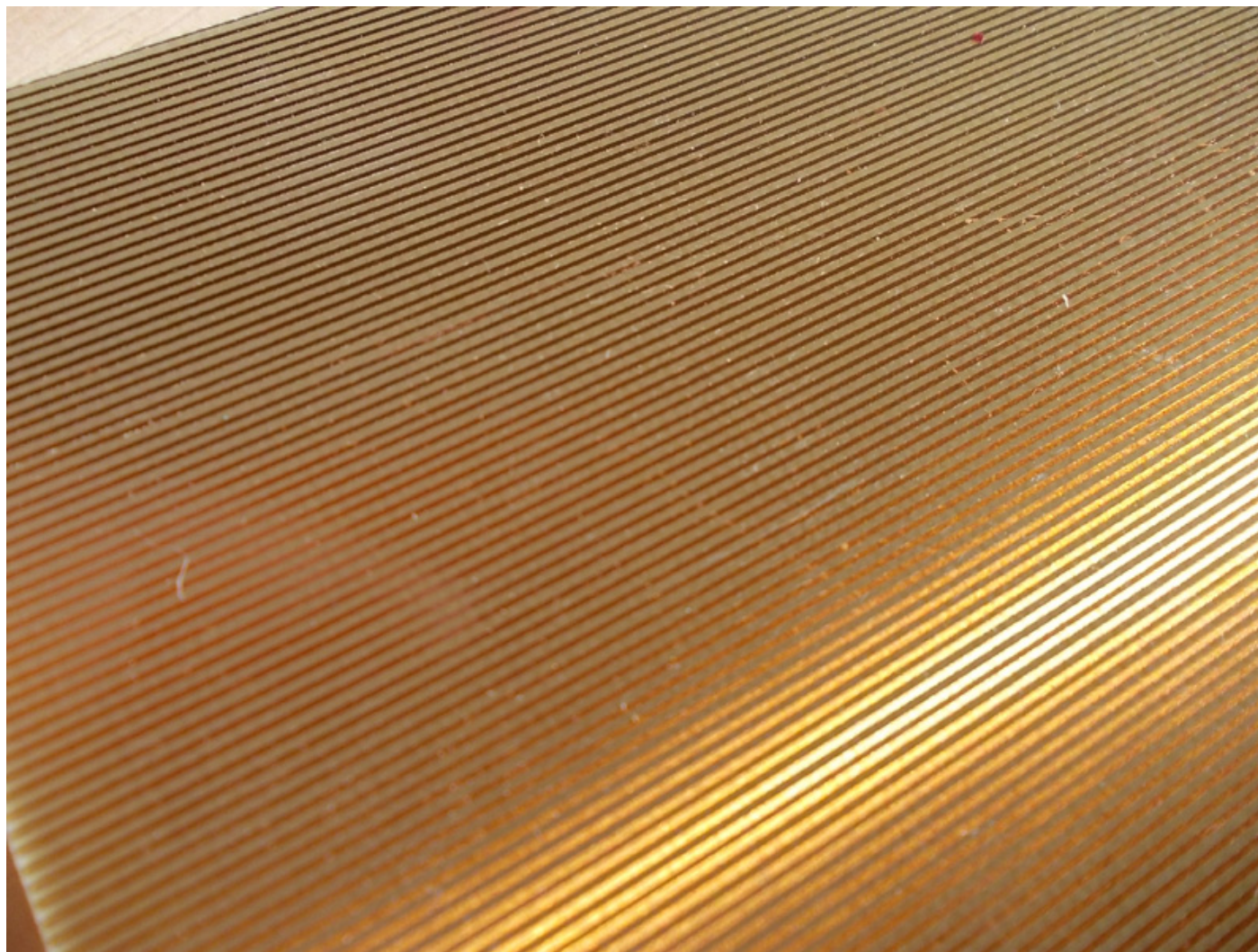
Kate- goria	frakcja 63 Fe, polaryzacja LH	warstwa siatki etnicznej W-E	frakcja 63 Fe, polaryzacja LV	warstwa siatki etnicznej N-S	frakcja 63 Fe, polaryzacja R	rok zgodnie ze starożytną notacją chińską
	zasięg [cm]		zasięg [cm]		zasięg [cm]	
K1	260	III	190		300	rok chiński 2012/2013 +/- 12n
K2	200		190		330	2012- 2025 +/-144n
K3	190		190		260	
K4	190		310	I	260	
K5	280, 220	II, Słońce	220	Słońce	340	2000-2144
K6	310	I	210		260	
K7	200		190		260	
K8	200		260	III	250	
K9	190		190		310	
K10	190		240	IV	260	
K11	230	IV	280	II	260	
K12	190		190		260	

## **Opis do tabeli**

**L - polaryzacja chiralna lewoskrętna, R - polaryzacja chiralna prawoskrętna, H - polaryzacja liniowa odpowiadająca siatce równoleżnikowej, V - polaryzacja liniowa odpowiadająca siatce południkowej. Warstwa I Kategorii - północno-zachodnia Europa, Warstwa II Kategorii - Londyn, Odczytany rok: 2012/2013**

**Sulphur C30 firmy Ainsworths Homoeopathic Pharmacy, uzyskujemy w pierwszym przybliżeniu obszar północno-zachodniej Europy, a dla drugiej warstwy Kategorii (o nieco mniejszym zasięgu promieniowania) obszar w przybliżeniu pokrywający się z obszarem Londynu.**

## Polaryzacja liniowa cząstek pola torsyjnego



Polaryzator wykonany z płytki do obwodów drukowanych